

## 結晶成長のステップと問題の概要

宇都宮大・教養 総田 勝之

### §1. はじめに

集積回路に欠かすことの出来ないシリコン結晶<sup>1)</sup>, LPE法<sup>2)</sup>によるゲルネット矽専バブル薄膜, GaAs太陽電池, III-V化合物レーザ結晶<sup>3)</sup>等実用上重要な半導体の製造工程は, 液相から固相を析出し, その結晶成長中界面は動く自由境界面となるいわゆる“ステップ問題”である。ステップ問題は元来永谷, アブレーテン, 錫造冷却等熱移動を対象とした問題が数多く研究されて来たが, 結晶成長に対するステップ問題では, 不純物を含んだり(シリコン結晶), 多元素(ゲルネットバブル, GaAs等)である場合が多くその様な場合には物理移動を伴う。この結晶成長問題が殊に重要なのは境界条件であり, 特に界面条件の取扱いについては結晶成長の快速過程と複雑な過程におけるの詳細な注意が必要である。

本論文では常温状態における二元系の結晶成長ステップ問題を取り扱う。2元系結晶成長の界面条件を §2 でまず議論する。§3 では, 本研究の骨格となる Lagrange-Bürgmann 展

開(今後 L-B 展開等と略す)の概要を述べる。§4 では問題を定式化する。§5 では、変数変換と導くことにより、かく §3 で紹介する L-B 展開法からの非線形境界値問題の解法へ導入される手順を示す。§6 ではまず濃度場の解を求める。§7 では、複雑な界面条件から帰着する L-B 展開を決定する。§8 では、その逆変換をすることにより、この問題で最も重要な肉板(周的肉板とする)界面位置  $\chi(t)$ 、界面濃度  $u_w(t)$  を求める。

## §2. 二元系の律速過程と界面条件

二元系結晶成長の律速過程は大変複雑である。ことに界面律速である場合には、実験を説明しうる理論は一元系の場合に限られるといふといふ。この理論は二次元核の形成を基礎とした分子論的 KOSSEL モデルを土台にし、準完全結晶のらせん転位を取り込んだ<sup>4)</sup> BCF 理論<sup>4)</sup>を完成させたといふ。二元系結晶への拡張には、異種分子間の電荷の影響を考慮する界面の区分等新たな要素が加わる。一般的には、適当な仮想的結晶成長性状を想定して一元系結晶<sup>流</sup>の BCF 理論を用する場合が多い。

一方、成長速度が充分遅い場合、律速過程は界面律速ではなく環境相の拡散律速である場合が多い。この様な二元系結晶

融液システムでは、環境相と結晶相とが熱力学的平衡状態があり、いかゆる相平衡図を満足する。図1は2元A, Bからなる典型的な相平衡図を示す。濃度 $u_e^*$ の融液を温度 $T_e^*$ に

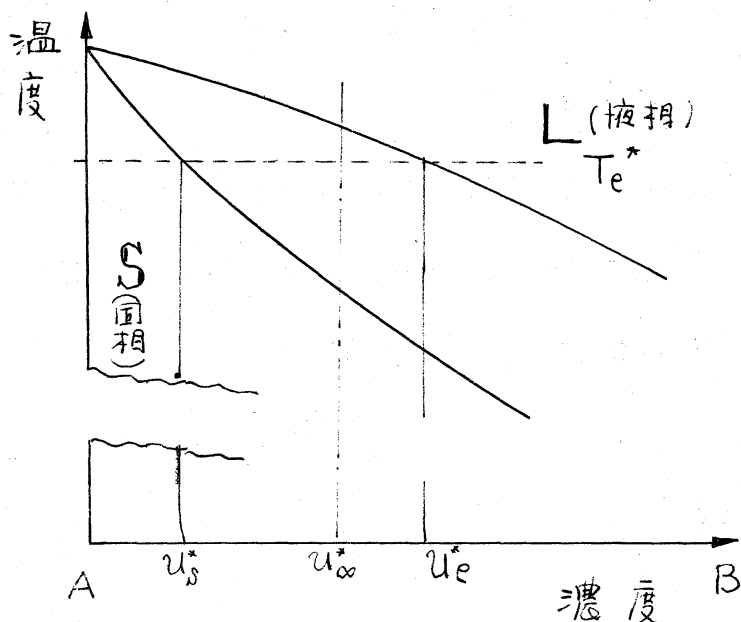


図1 典型的な相平衡図

保つと、固体側の界面濃度は $u_s^*$ 、液体側は $u_e^*$ となる。界面律速と拡散律速の両方を組み入れた連続体枠内の界面条件が最近 Ghez<sup>5), 6)</sup> により提唱された。

3.

Ghez<sup>5)</sup> はまず上述べた意味での二元系BCFモデルに沿って界面での物質の流れ密度と計算<sup>6)</sup>によって次のモデル方程式を提唱した。

$$D \frac{\partial u'}{\partial x} = h (u_w - u_e') \quad \text{at } x=0 \quad (2.1)$$

ここで $x$ 座標の原点は界面上に取ったある。 $h$ は定数である。式(2.1)は、界面濃度 $u_w'$ の熱力学的平衡界面濃度 $u_e'$ からのずれの量と濃度勾配による物質の流れ密度は比例すること

を示す。この連続体近似の界面条件は、板粗条件とこよなく使われる Newton の公式を全く軌跡にするものであり、教育的には Taylor 展開の初項を使、たゞ近似と考えると便利である。式(2.1)の判定は界面速度の状態、または BCF 理論を満足しきるのみならず、塊内密度の小エッジ成長速度の通り<sup>6)</sup>極限  $\frac{\partial u}{\partial z} \rightarrow 0$  では、界面条件は超力學的平衡状態  $U_w^* \rightarrow U_e^*$  を構成することである。界面条件(2.1)を用いると等温狀態<sup>7)</sup>の結晶成長を考えても界面濃度  $U_w^*$  は一定値であるはず、實際相平衡間の  $U_w^* \sim U_e^*$  の間に変化する。これは超のステップ問題には見られないか、と想像といふ、こよりだろ。

### § 3. L-B 展開法の概要

文献<sup>8)</sup>に詳しく述べてあるのでこゝではそのあらましと述べるにとどめる。これを複素変数として解の関数  $f(z)$  を評価するのと Taylor 展開は基本的である。

$$f(z) = a_0 + a_1 z + \dots + a_n z^n + \dots \quad |z| < z_0 \quad (3.1)$$

$f(z)$  をその収束域内で出来るだけ正確に求めには、(3.1)式の級数の係数を多く求める努力とする訳だが、多くの場合(3.1)の級数の収束は非常に遅く実用的には全く役に立らない場合が多いのは我々のよく経験するところである。これを次のよう分解の関数を使、変数変換により、より収束性のよ

の L-B 級数を導入しようとというのかこの L-B 展開法の骨子である。

### 定理 1 (L-B 定理)

$z=0$  で正則な関数  $h(z)$ ,  $g(z)$  による変数変換を考之る。

$$c = H(z; f; f') = h(z) = \sum_{n=1}^{\infty} b_n z^n, \quad (3 \cdot 2)$$

$$j = G(z; f) = g(z) = \sum_{n=0}^{\infty} c_n z^n. \quad (3 \cdot 3)$$

すなはち  $c = 0$  の (3.2) の逆関数  $h^{-1}(z)$  が正則である, (3.3) の  $g(z)$

との合成関数  $P(z) = g \circ h^{-1}$  も  $z=0$  で正則である。すると

$$z = h^{-1}(c) = \sum_{n=1}^{\infty} d_n c^n \quad (3 \cdot 4)$$

$$j = g(h^{-1}) = P(z) = \sum_{n=0}^{\infty} A_n z^n \quad (3 \cdot 5)$$

$z - z' f' = \frac{df}{dz}$  であり,  $H, G$  はそれぞれ  $z, f, f'$  と  $z, f$  を使,  $c$  定義され, 且つ解の関数  $g$  を定義する。これに  $h, h^{-1}$  は定数項を除きことに注意せねば。式 (3.5) が L-B 展開法の本技法の核をなす。

我々の目標はあくまでも  $f(z)$  (目的関数を求める) の評価である。 (3.5) 式から次の手順で  $f(z)$  を求める。

### 定理 2 (逆変換の定理)

(3.5) 式の逆関数  $P^{-1}$  も  $j - A_0 = 0$  で正則である。

$$z = P^{-1}(j - A_0) \quad (3 \cdot 6)$$

式 (3.2), (3.3) の定義式を用うと, (3.6) は

$$H(z; f; f') = P^{-1}[g(z; f) - c_0]. \quad (3 \cdot 7)$$

となる。式(3.7)は簡単な変形  $z^n f(z)$  に対する一階の常微分方程式となり、その解は(3.2)～(3.6)で定義された範囲  $z$  での固有函数  $f(z)$  を与える。

### 定理3 (収束の定理)

L-B展開(3.5)式と  $z^n$  で打ち切る級数論を考えよ。

$$P_n(z) = \sum_{i=0}^n A_i z^i. \quad (3.8)$$

(3.8)式の逆函数  $P_n^{-1}$  で定義される一階の微分方程式は

$$H(z; f^{(n)}; f^{(n)}) = P_n^{-1}[G(z; f^{(n)}) - C_0]. \quad (3.9)$$

となる。(3.7)式の解  $f^{(n)}(z)$  は  $n \rightarrow \infty$  での函数  $f(z)$  に一致する。

証明草稿又取<sup>17)</sup>を参照された。

### §4. 基礎方程式

二元系結晶成長を考えよう。濃度  $U_0^*$  の融液システム(図1をみよ)を時間  $t \geq 0$  では常に温度  $T_e$  に保つ等温状態を考えよ。この状態では、濃度  $U_s^*$  の固体が  $t=0$  で結晶はじめ、時間  $t$  では厚さ  $X(t)$  の結晶に成長する。結晶中の物質拡散は無視出来るので、この結晶成長問題は融液中の濃度分布と界面条件により支配される考えよう。もし座標原点を動く界面上に固定すれば、この結晶成長する問題を支配する方程式と境界条件は次のようになる。

$$\frac{\partial u^*}{\partial t} = D \frac{\partial^2 u^*}{\partial x^2} + m \dot{X} \frac{\partial u^*}{\partial x^*}, \quad (4.1)$$

$$u^*(x^*, t^*) = u_s^* \quad x^* < 0, \quad (4.2)$$

$$D \frac{\partial u^*}{\partial x^*}(0, t) = \dot{X} (u_s^* - u_w^*), \quad (4.3)$$

$$u^*(x^*, 0) = u^*(\infty, t^*) = u_\infty, \quad (4.4)$$

$$D \frac{\partial u^*}{\partial x^*}(0, t) = h (u_w^* - u_e^*), \quad (4.5)$$

$$\dot{X}(0) = 0. \quad (4.6)$$

2. これは単位長さの船底を作りますのに必要な融解層厚さ  
 (無次元量)  
 の比を表す。このmの値は(4.1)式の右辺第一項は移動座標系のために生じる対流項である。Dは物質拡散係数である。  
 (4.5)式は§2で論じたGhez<sup>5), 6)</sup>による一次反応モデルで、  
 は一次反応係数を示す。(4.3)は界面での物質保存則である。  
 次の無次元化により(4.1)~(4.6)を無次元変数に書き直す。

$$x = \frac{h}{D} x^*, X = \frac{h}{D} X^*, t = \frac{h^2}{D} t^*, u = \frac{u^* - u_\infty^*}{u_w^* - u_\infty^*}, u_e = \frac{u_e^* - u_\infty^*}{u_s^* - u_\infty^*}, u_w = \frac{u_w^* - u_\infty^*}{u_s^* - u_\infty^*} \quad (4.7)$$

$$\frac{\partial u}{\partial t} + \frac{\dot{u}_w}{u_w} u = \frac{\partial^2 u}{\partial x^2} + \dot{X} \frac{\partial u}{\partial x} \quad (4.8)$$

$$u(x, t) = \frac{1}{u_w} \quad x < 0 \quad (4.9)$$

$$u(0, t) = 1, \quad u(\infty, t) = u(x, 0) = 0 \quad (4.10)$$

$$\frac{\partial u}{\partial x}(0, t) = \dot{X} \left( \frac{1}{u_w} - 1 \right) \quad (4.11)$$

$$\frac{\partial u}{\partial x}(0, t) = u(0, t) - \frac{u_e}{u_w} \quad (4.12)$$

$$\dot{X}(0) = 0 \quad (4.13)$$

無次元方程式(4.8)~(4.13)をみて可く分3ことは、次の如き

の唯一のパラメータは  $u_w$  で、平衡状態での界面濃度と純品相濃度との比を表す。 $u_w$  と  $X$  はともに時間の函数である濃度変数  $u(x,t)$  と同時に求めなければならぬ量である。(4.8) をみてすぐ分かるようだ、濃度拡散方程式は境界条件にて、二段結晶相内の変化は考慮しないので境界条件 (4.9) は今後考慮しない。また  $X$  と  $u_w$  に依存している。次に L-B 展開法を用、其解法を示そう。

## §5. 式の変数変換と L-B 展開の導入

独立変数  $x, t$  の代わりに次の独立変数  $\eta, \tau$  を導入する。

$$\eta = \frac{x}{2\sqrt{t}}, \quad \tau = \frac{t}{h(t)} = \frac{\dot{X}}{\sqrt{t}} \quad (5.1)$$

$\eta, \tau$  を使うと (4.8) ~ (4.13) は次の様に変形される。

$$\frac{\partial^2 u}{\partial \eta^2} + 2\eta \frac{\partial u}{\partial \eta} = -2\tau \frac{\partial u}{\partial \eta} + 4 \underbrace{\frac{d\tau}{dt} t \frac{\partial u}{\partial \tau}}_{\dot{X}} + 4 \underbrace{\frac{u_w - u_0}{u_w}}_{\frac{u_w}{u_w - u_0} t} u \quad (5.2)$$

$$u(0, \tau) = 1, \quad u(\infty, \tau) = 0 \quad (5.3)$$

$$g_1(t) = 2\sqrt{t} \dot{X} \left( \frac{1}{u_w} - 1 \right) = P(\tau) = \frac{\partial u}{\partial \eta}(0, \tau) \quad (5.4)$$

$$g_2(t) = 2\sqrt{t} \left( 1 - \frac{u_0}{u_w} \right) = P(\tau) = \frac{\partial^2 u}{\partial \eta^2}(0, \tau) \quad (5.5)$$

$$\dot{X}(0) = 0 \quad (5.6)$$

(5.1) 式の変形にまず注意したいのは、複雑な界面条件 (4.11) と (4.12) や、(5.4) と (5.5) 式で分子となる二つの従属変数  $g_1(t), g_2(t)$  の、§3 で述べたとく離す合成関数と、これを求めるからである。ただ当然のことながら (5.1) 式の  $\eta, \tau$  が方

程式 (5.2) ~ (5.6) が解けることを示すには、(5.2) 式の右辺の下線を施し次二項まで表現出来ればいい。これは §3 の定理 1 を使之ば容易に示せる。次の仮定を行ふ。

仮定 1

$u_w$  と  $\chi$  は  $t^{\frac{1}{2}}$  かつて  $t=0$  で正則である。

仮定 1 により、

$$\dot{\chi} = \chi_0 + \chi_1 t^{\frac{1}{2}} + \chi_2 t + \dots , \quad (5.7)$$

$$u_w = u_0 t^{\frac{1}{2}} + u_1 t + \dots , \quad (5.8)$$

$$\bar{c} = h(t) = \chi_0 t^{\frac{1}{2}} + \chi_1 t + \chi_2 t^{\frac{3}{2}} + \dots \quad (5.9)$$

後の解法で分子様  $\chi_0 \neq 0$ ,  $u_1 \neq 0$  であり,  $h(0)=0$  である。 $h(t)$  が正則であるから、(5.9) の逆関数も定義出来る。

$$t^{\frac{1}{2}} = h^{-1}(z) = \frac{z}{\chi_0} - \frac{\chi_1}{\chi_0^3} z^2 + \frac{2\chi_1^2 - \chi_0 \chi_2}{\chi_0^5} z^3 + \dots \quad (5.10)$$

(5.7) ~ (5.10) と定理 1 を使うと

$$4 \frac{d\bar{c}}{dt} t = 2\bar{c} + B_2 \bar{c}^2 + B_3 \bar{c}^3 + \dots , \quad (5.11)$$

$$4 \frac{\dot{u}_w}{u_w} t = -2 + C_1 \bar{c} + C_2 \bar{c}^2 + \dots \quad (5.12)$$

$$\therefore \bar{c} : B_2 = \frac{2\chi_1}{\chi_0}, \quad B_3 = \frac{4(\chi_0 \chi_2 - \chi_1^2)}{\chi_0^2}, \quad (5.13)$$

$$C_1 = \frac{2u_2}{u_1 \chi_0}, \quad C_2 = \frac{2}{\chi_0^2} \left( \frac{2u_3}{u_1} - \frac{u_2^2}{u_1^2} \right) - \frac{2u_2 \chi_1}{u_1 \chi_0^2}, \quad \dots \quad (5.14)$$

(5.11), (5.12) とともに、定理 1 によりかた分子式が決まる。(5.11), (5.12) を (5.2) に代入すれば、濃度関数  $u(n, \bar{c})$  は  $\bar{c}$  のみの関数である。一方 (5.4), (5.5) 式から  $\frac{\partial u}{\partial n}(0, \bar{c})$  は  $\bar{c}$  かつて正則であるから、 $u(n, \bar{c})$  は  $\bar{c}$  かつて  $n$  の

正則と考之よつ。

$$u(\eta, \tau) = u_0(\eta) + \tau u_1(\eta) + \tau^2 u_2(\eta) + \dots \quad (5.15)$$

(5.15) 及 (5.2), (5.3) 式を代入する。濃度列  $\{u_n(\eta)\}$  は界面条件 (5.4), (5.5) とは独立に求めることが出来る。

### § 6. 濃度列 $\{u_n\}$

(5.15) 式の  $\{u_n\}$  は次の式を満足しなければならぬ。

$$u_0'' + 2\eta u_0' - 2u_0 = 0,$$

$$u_1'' + 2\eta u_1' - 4u_1 = -2u_0' + C_1 u_0,$$

$$u_2'' + 2\eta u_2' - 6u_2 = -2u_1' + B_2 u_1 + C_2 u_0 + C_1 u_1,$$

$$u_3'' + 2\eta u_3' - 8u_3 = -2u_2' + B_3 u_2 + 2B_2 u_1 + C_3 u_0 + C_2 u_1 + C_1 u_2,$$

… .

$$u_0(0) = 1, \quad u_j(0) = 0, \quad j \geq 1; \quad (6.2)$$

$$u_j(\infty) = 0, \quad j \geq 0. \quad (6.3)$$

境界条件 (6.2), (6.3) を満足する  $\{u_n\}$  は次の様に求まる。

$$u_0 = D_0 i \operatorname{erfc} \eta,$$

$$u_1 = D_1 i^2 \operatorname{erfc} \eta - \frac{D_0}{2} \operatorname{erfc} \eta - \frac{C_1}{2} D_0 i \operatorname{erfc} \eta,$$

$$u_2 = D_2 i^3 \operatorname{erfc} \eta - \frac{D_1(B_1 + C_1)}{2} i^2 \operatorname{erfc} \eta + \left( -\frac{D_1}{2} + \frac{C_1 D_0 (B_2 + C_2)}{6} - \frac{C_2 D_0}{4} \right) i \operatorname{erfc} \eta$$

$$+ \left( \frac{C_1 D_0}{6} + \frac{D_0 (B_2 + C_2)}{12} \right) \operatorname{erfc} \eta + \frac{D_0}{2\sqrt{\pi}} \exp(-\eta^2) \quad (6.4)$$

こゝで

$$D_0 = \sqrt{\eta}, \quad D_1 = 2\sqrt{\eta} \left( 1 + \frac{C_1}{\sqrt{\eta}} \right),$$

$$D_2 = \frac{(B_2 + C_1)}{4} \left\{ 3\sqrt{\pi} D_1 - (3C_1 + 2\sqrt{\pi}) D_0 \right\} + 3D_1 + D_0 \left\{ \frac{3}{2}C_2 - \sqrt{\pi} C_1 - \frac{3}{2} \right\}. \quad (6.5)$$

$$i^n \operatorname{erfc} \eta = \int_{\eta}^{\infty} i^{n-1} \operatorname{erfc} \xi \, d\xi,$$

$$i^0 \operatorname{erfc} \eta = \operatorname{erfc} \eta = \frac{2}{\sqrt{\pi}} \int_{\eta}^{\infty} e^{-s^2} ds. \quad (6.6)$$

未定係数  $B_2, B_3, \dots, C_1, C_2, \dots$  は (5.13), (5.14) と之と併せてあり  
究極的には (5.7), (5.8) 式で示すやうに  $\chi$  と  $u_n$  の展開係数  $x_0, x_1, \dots$   
と  $u_1, u_2, \dots$  で表わされる。次にこの係数と L-B 展開を求める  
方法を示す。

## §7. 界面条件の L-B 展開と未定係数の決定

§6 で求めた  $\{u_n\}$  関数の  $\eta=0$  での一次微分を評価すれば、  
界面条件を表わす (5.4), (5.5) 式の L-B 展開式を決定出来る。

$$g_1(t) = 2\sqrt{t} \dot{\chi} \left( \frac{1}{u_w} - 1 \right) = P(z) = u'_w(0) + 2u'_1(0) + z^2 u'_2(0) + \dots \quad (7.1)$$

$$g_2(t) = 2\sqrt{t} \left( 1 - \frac{u_e}{u_w} \right) = P(z) = u'_w(0) + 2u'_1(0) + z^2 u'_2(0) + \dots \quad (7.2)$$

ここで、

$$u'_w(0) = -\sqrt{\pi}, \quad u'_1(0) = \frac{2C_1}{\sqrt{\pi}} \left( -1 + \frac{\pi}{4} \right), \quad u'_2(0) = (B_2 + C_1) \\ \left\{ \frac{10-3\pi}{12} + \frac{C_1}{\sqrt{\pi}} \left( 1 - \frac{5\pi}{16} \right) \right\} - \frac{1}{8}\sqrt{\pi} + C_1 \left( \frac{\pi}{4} - \frac{5}{6} \right) - \frac{\sqrt{\pi}}{8} C_2 \quad (7.3)$$

またこの段階では、L-B 展開には  $C_1, C_2$  etc の未定係数が含まれている。これを決定するには式 (5.7)～(5.9) の展開を (7.1) と (7.2) 式の両辺に代入して  $t^{1/2}$  についての同じべきの係数を等しいとおく。例えば,  $(t^{1/2})^0$  の項からは

$$\frac{2x_0}{u_1} = -\sqrt{\pi}, \quad -\frac{2u_e}{u_1} = -\sqrt{\pi}$$

$$\therefore x_0 = -u_e, \quad u_1 = \frac{2}{\sqrt{\pi}} u_e \quad (7.4)$$

同様に予め  $x_1, x_2, \dots, u_2, u_3, \dots$  を順次求めることが出来た。

$$x_0 = -u_e, \quad x_1 = \frac{2}{\sqrt{\pi}} u_e (1-u_e), \quad x_2 = u_e (1-u_e) \frac{(8+\pi)u_e - 2\pi}{2\pi}, \dots \quad (7.5)$$

$$u_1 = \frac{2u_e}{\sqrt{\pi}}, \quad u_2 = -\frac{u_e(2-u_e)}{2}, \quad u_3 = \frac{1}{\pi\sqrt{\pi}} \left[ \frac{u_e^3}{36} (-3\pi^2 + 44\pi - 64) \right.$$

$$\left. - \frac{u_e}{9} (3\pi^2 + 14\pi - 16) + \frac{4}{3} u_e (\pi - 2) \right], \dots \quad (7.6)$$

以上の結果を使うと、L-B 展開は

$$g_1(t) = 2\sqrt{t} \dot{X} \left\{ \frac{u_e}{u_w} - u_e \right\} = P(\bar{e}) = d_0 + d_1 \bar{e} + d_2 \bar{e}^2 + \dots \quad (7.7)$$

$$g_2(t) = 2\sqrt{t} \left\{ 1 - \frac{u_e}{u_w} \right\} = P(\bar{e}) = d_0 + d_1 \bar{e} + d_2 \bar{e}^2 + \dots \quad (7.8)$$

$$\text{こゝで } d_0 = -\sqrt{\pi}, \quad d_1 = \frac{8-(2-u_e)\pi}{4},$$

$$d_2 = \frac{1}{\pi\sqrt{\pi}} \left[ \frac{u_e^2}{144} (-3\pi^2 + 10\pi - 128) + \frac{u_e}{36} (3\pi^2 + 26\pi - 112) - \frac{1}{12} (3\pi^2 - 2\pi - 32) \right],$$

$\bar{e}$  と  $\bar{X}$  は次の様に再定義してある。

$$\bar{X} = -X/u_e, \quad \bar{e} = \dot{X}/\sqrt{t} \quad (7.9)$$

(7.9) 式の再定義の利点は、 $u_e$  の符号に拘らず  $\bar{X}$  は常にとととて増加することである。

計算が非常に複雑になるので本論文では L-B 展開の 3 個しか求めていませんが、L-B 展開 (7.7), (7.8) の収束を直接確認することは不可能である。仮定 1 (§5 をみよ) により  $g_1(t), g_2(t)$ ,  $f(t)$  の正則かつ乏るの上での L-B 展開は十分小さくなり得て収束する。

### §8. 界面位置 $X(t)$ と界面濃度 $u_w(t)$ の求め方

仮定 1 により、L-B 級数 (7.7), (7.8) は解折度数  $P(z)$  を定義する。両式の左辺から  $u_w$  を消去すると

$$\sqrt{t} = \frac{z P(z)}{P(z) + 2z(1-u_e)} = Q(z). \quad (8.1)$$

$P(0) = -\sqrt{\pi} \neq 0$  に注意すれば、(8.1) の右辺は  $z=0$  で正則であり、  
 $Q(0) = 0$  である様な概単数 (almost unit) の解折度数  $Q(z)$  を定義するこことなる。<sup>7)</sup> すこ (8.1) 式の逆函数を求めることを出

$$z = Q^{-1}(\sqrt{t}). \quad (8.2)$$

(8.2) 式は、(6.1) の  $h(t)$  の定義を明らかにするく、 $X(t)$  についての一階の常微分方程式となり、定理 2 により、これは目的函数  $X(t)$  と一致する。そこで (7.7) 及び (7.8) 式を  $\varepsilon$   $z^n$  で打ち切、及  $P_n(z)$  は (8.1) の  $P(z)$  の阶で代入して (8.2) 式を阶で求まる  $\{X^{(n)}\}$ 、及  $u_w^{(n)}$  には定理 3 により  $X(t)$ ,  $u_w(t)$  を収束せねばならぬ。以下  $n=0, 1, 2, \dots$  とこの順序に従って  $\{X^{(n)}\}$ ,  $\{u_w^{(n)}\}$  を求めよ。

$n=0$  :

$$P_0(z) = -\sqrt{\pi} \text{ とおくと}, \quad (8.2) \text{ 式は}$$

$$\frac{dX^{(0)}}{dt} = \frac{\sqrt{\pi}}{\sqrt{\pi} + (1-2u_e)2\sqrt{t}}. \quad (8.3)$$

初期条件 (5.6) を満足する容易に求ま、即ち

$$\bar{X}^{(0)} = \frac{\sqrt{\pi}}{1-u_e} \sqrt{t} - \frac{\pi}{2(1-u_e)^2} \log \left\{ 1 + \frac{2(1-u_e)}{\sqrt{\pi}} \sqrt{t} \right\}, \quad (8.4)$$

$$u_w^{(0)} = \frac{2u_e \sqrt{t}}{2\sqrt{t} + \sqrt{\pi}}. \quad (8.5)$$

$t \ll 1$  のとき,  $\bar{X}^{(0)}$ ,  $u_w^{(0)}$  は次の展開をもつ。

$$\begin{aligned}\bar{X}^{(0)} &\sim t - \frac{4(1-u_e)}{3\sqrt{\pi}} t^{\frac{3}{2}} + \dots, \\ u_w^{(0)} &\sim \frac{2}{\sqrt{\pi}} u_e \sqrt{t} - \frac{4}{\pi} u_e t + \dots.\end{aligned}\quad (8.6)$$

$t \gg 1$  のとき,

$$\begin{aligned}\bar{X}^{(0)} &\sim \frac{\sqrt{\pi}}{1-u_e} t^{\frac{1}{2}} - \frac{\pi}{4(1-u_e)^2} \log t + \dots, \\ u_w^{(0)} &\sim u_e - \frac{u_e \sqrt{\pi}}{2\sqrt{t}} + \dots.\end{aligned}\quad (8.7)$$

$n=1$ :

$$\frac{d\bar{X}^{(0)}}{dt} = \frac{D}{2d_1} + \frac{\sqrt{\pi}}{2d_1 \sqrt{t}} - \frac{1}{2d_1 \sqrt{t}} [(D\sqrt{t} + \sqrt{\pi})^2 - 4d\sqrt{\pi t}]^{\frac{1}{2}}. \quad (8.8)$$

$$\text{ただし } D = \frac{(8-\pi)(2-u_e)}{4}, \quad d_1 = 2 - \frac{\pi}{4}(2-u_e).$$

$$\begin{aligned}\bar{X}^{(1)} &= \frac{D}{2d_1} t + \frac{\sqrt{\pi t}}{d_1} - \frac{1}{2d_1} \left[ (\sqrt{t} + \frac{\sqrt{\pi} D'}{D^2}) \sqrt{(D\sqrt{t} + \sqrt{\pi})^2 - 4d\sqrt{\pi t}} - \frac{\pi^{\frac{3}{2}} D'}{D^2} \right] \\ &= \frac{8\pi(1-u_e)}{D^3} \log \left\{ \frac{D \sqrt{(D\sqrt{t} + \sqrt{\pi})^2 - 4d\sqrt{\pi t}} + D^2 \sqrt{t} + \sqrt{\pi} D'}{4\sqrt{\pi}(1-u_e)} \right\},\end{aligned}\quad (8.9)$$

$$u_w^{(1)} = \frac{2u_e \sqrt{t}}{2\sqrt{t} + \sqrt{\pi} - d_1 \bar{X}^{(0)} \sqrt{t}}. \quad (8.10)$$

$$D' = \frac{\pi}{4}(2-u_e) - 2u_e.$$

$t \ll 1$  のとき,  $\bar{X}^{(0)}$ ,  $u_w^{(0)}$  は次の展開をもつ。

$$\begin{aligned}\bar{X}^{(0)} &\sim t - \frac{2(1-u_e)}{\sqrt{\pi}} t^{\frac{3}{2}} + \dots, \\ u_w^{(0)} &\sim \frac{2u_e}{\sqrt{\pi}} \sqrt{t} - 2u_e(1+u_e)t + \dots.\end{aligned}\quad (8.11)$$

$t \gg 1$  のとき,

$$\begin{aligned}\bar{X}^{(0)} &\sim \frac{\sqrt{\pi}}{1-u_e + \frac{d_1}{2}} \sqrt{t} - \frac{4\pi(1-u_e)}{D^3} \log t + \dots, \\ u_w^{(0)} &\sim u_e - \frac{\sqrt{\pi}}{2} \frac{D'}{D} \frac{u_e}{\sqrt{t}} + \dots.\end{aligned}\quad (8.12)$$

当然のところ  $\tau_3$  が 3,  $\bar{X}^{(0)}$ ,  $u_w^{(0)}$  の  $t \ll 1$  の最初の 2 項は (7.4); (7.5)

どとされる値と一致している。

$n \geq 2$  については、 $\chi^{(n)}$ ,  $u_w^{(n)}$  の解が解を求める距離から  
つ。(8.1)式は全てこの( $n+1$ )次の代数方程式である  
これを Newton 法により解 (8.2) を求め、その微分方程式  
を Runge-Kutta 法で数值的に解くという方法となる。これ  
により求めた数値解を Table 1 にいくつかの  $u_e$  について示  
す。

### §9. 考察

考慮した L-B 級数の次数内では、§8 の結果は (7.5), (7.6)  
式に示されている古典解と一致するには容易に確認出来る。  
例えは (8.6), (8.11) 式をみよ。古典解の最初の二項は Ghez<sup>5)</sup>  
による。本 L-B 解の優れてる点は、時間の小さな領域で  
は古典的た級数解ともう少し一致するだけではなく、 $t \gg 1$  の領域で  
は正しく漸近的挙動を示す点である。 $t \rightarrow \infty$  の極限では  
、船底成長の律速過程は拡散律速となり、界面条件は熱力学  
的平衡状態を満足し、 $u_w \rightarrow u_e$  となる。この場合には、熱の  
Neumann の解へ近い厳密解がある。これは実質的には Ghez<sup>5)</sup>  
により解は与えられる。

$$\bar{\chi} = 2\alpha \sqrt{t}$$

$$u_w = u_e$$

(9.1)

$$\lambda_0 \operatorname{erfc} \lambda_0 \exp(\lambda_0^2) = \frac{1}{\sqrt{\pi}} \frac{1}{1+u_e} \quad (9.2)$$

$u_e$  が小さいときは  $\lambda_0$  は次の形をもつ。

$$\lambda_0 = \frac{1}{\sqrt{\pi}} \left[ 1 + \left( 1 - \frac{2}{\pi} \right) u_e - \left( 1 - \frac{5}{\pi} + \frac{8}{\pi^2} \right) u_e^2 + \dots \right] \quad (9.3)$$

(8.7), (8.12) 式の  $t \gg 1$  の展開をみてても分子様に  $\bar{x}^{(0)}, \bar{x}^{(1)}$ ,  $u_w^{(0)}, u_w^{(1)}$  とも定数  $\lambda_0$  の値は必ずしも正  $| < \lambda_0 | < 1$  の  $\lambda^n$  ( $u_e = 0$ ) と (9.3) を使うと  $n=0, 1$  でそれだけ約 60%, 30% 大きい正しい複数形  $\bar{x}$  をもつることに注意しなさい。Table 1 の数値みるも分子様に、充分時間の大きい領域でも、 $\bar{x}^{(0)}, \bar{x}^{(1)}, \bar{x}^{(2)}$  で  $n=0, 1, 2$  によく収束している状態がうかがえる。

本研究は文部省科学振興費による補助をうけた。

## 文献

- 1). R.W. Dutton & D.A. Antoniades: p. 233 in *Moving Boundary Problems* ed. by D.G. Wilson, A.P. Solomon & P.T. Boggs. Academic Press, New York (1978)
- 2). R. Ghez & E.A. Giess: Mat. Res. Bull. 8, p. 31 (1973)
- 3). H.B. Smelt & R. Ghez: J. Appl. Phys. 50, p. 5322 (1979)
- 4). 大川章哉: 結晶成長, 講華房. (1980)
- 5). R. Ghez: Int. J. Heat Mass Transfer, 23, p. 425 (1980).
- 6). R. Ghez: J. Crystal Growth, 49, p. 618 (1978).
- 7). N. Tokuda "A new application of Lagrange-Bürmann expansions" I & II  
submitted to ZAMP.

TABLE 1. Lagrange-Burmann Solutions of Crystal Growth

		$u_e = 0.05$			$u_e = 0.5$		
n	X	time	$h(t)$	$u_w$	time	$h(t)$	$u_w$
0	0.2	.272	.334	.019	.236	.381	.177
		.278	.326	.020	.242	.368	.200
		.279	.323	.020	.244	.363	.209
0	0.4	.613	.426	.024	.504	.507	.222
		.636	.407	.025	.528	.476	.256
		.644	.401	.026	.540	.460	.272
0	1.0	1.918	.557	.031	1.43	.714	.287
		2.068	.516	.033	1.59	.629	.334
		2.127	.500	.033	1.69	.577	.358
0	2.0	4.853	.655	.036	3.29	.896	.336
		5.455	.589	.038	3.95	.736	.386
		5.731	.561	.039	4.48	.642	.411
0	3.0	8.612	.708	.038	5.46	1.01	.363
		9.969	.625	.041	6.98	.789	.410
		10.638	.589	.041	8.29	.669	.434
0	5.0	18.371	.766	.041	10.63	1.15	.392
		22.156	.662	.043	14.92	.84	.439
		24.158	.617	.044	18.86	.69	.456

X; Thickness of crystal formed

time; Time taken to reach thickness X(t)

 $u_w$ ; surface concentration

h(t); see equation (5.1)

 $u_e$ ; Dimensionless parameter of equilibrium concentration. see equation (4.7)

n; order of approximations